

沖縄総合事務局、(前)沖三港湾建設局 正員 奥村研一
沖三港湾建設局 中村勇、小松和彦

1. まえがき 混成堤等の表のり面を被覆する消波ブロックの折衷重量の算定は、通常ハドソンの提案による式(1)にもとづいて行っている。

$$W = \frac{\rho H^3}{K_D(S_r-1) \cot \alpha} \quad \text{--- (1)}$$

ここで、 W : 求めるブロックの最小重量(t)、 ρ : ブロックの空中単位体積重量(t/m^3)、 S_r : ブロックの海水に対する比重、 α : 斜面が水平面となす角(度)、 H : 設計計算に用いる波高(m)、 K_D : ブロックの種類及び被災率によつて定まる定数である。ところで、式(1)は規則波による実験結果にもとづいて提案されたものであり、また、周期(波長)の影響が組み込まれていないといふ問題がある。

今度、筆者らは大型消波ブロック(25t型)の現地への適用性に関する実験を行い、これらの点について検討したので、以下、その結果を示すことにする。なお、実験はフルードの歪み相似則に従う1/50模型で実施したが、以下においては、現地に換算した値で示すこととする。

2. 実験内容 (1) 実験施設 実験は運輸省第三港湾建設局水理実験所の二次元水路を利用して行った。水路の諸元は、全長64m、幅1.5m、深さ1.5mであり、造波板から約45m離れた地点に模型を設置した。造波装置はミナーラモーターを備えたピストン式である。実験断面は図-1に示す形態であり、消波ブロックは2層整積せ、天端3列積け、法勾配は1:4/3である。

(2) 測定方法 波を作用させた時の消波ブロックの動きは、全体としての動き、部分的な動き等非常に複雑である。また、完全な転落や移動以外は観測者の主觀が入る。そのため、本実験においては、実験前後に写真撮影を行い、目視及公算によりブロックの被災状態を調べた。実験時間は現地2時間に相当する継続時間を与えることにした。波高については、水路内に模型を設置する前に実験する全てのケースの通過波高を測定し、ゼロアップクロス法により $T_{1/2}$ 、 $T_{1/3}$ 他を算出した。また、一部のケースについては、実験中に測定した波高をもとに、合田らの方法により入反射波高を分離し、あわせて反射率を算出した。

(3) 実験ケース 実験は、周期(現地)として、12, 15, 18秒の3つを取上げ、その各々について、波高を変化させて被災状態を観察した。また、各ケースとも、3回繰返し実験を行った。

3. 実験結果 (1) 被災状況 波を作用させた場合の消波ブロックの移動形態を、観察の結果、次のように分類した。
 a. 動搖(ブロックが寄り波あるいは引き波によって左右、上下に移動する状態)、波の作用後は元の位置にある場合)
 b. 变形(ブロックが隣のブロックの端にのつたり、ブロック自身の向きが変わつたりする状態)
 c. 移動(变形の進んだ状態で、隣のブロックに入る場合、またはブロックの位置が半ブロック長以上変位した場合)
 d. 転落(移動の進んだ状態で、ブロックの位置がブロック1個長以上変位した場合)

(2) 被災結果及び考察 上記の分類により実験結果を整理し、入射波高に対する被災率を図示した。一例を図-2に示す。ここで被災率とは、移動及び転落を被災と定義し、2層目の被災個数を2層目の全個数で除して百分率で表わしたものである。これらの図から、被災率0, 1, 5%に対応する波高(堤体部における入射有

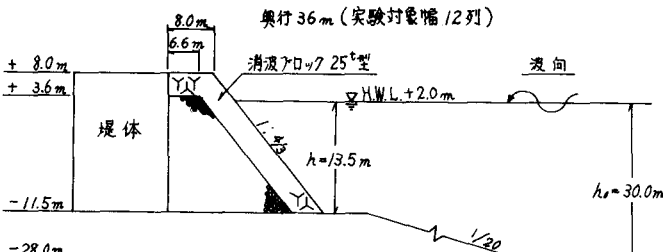


図-1 実験断面(現地)

義波高)を読み取って整理したものか、表-1である。この場合、3回の実験値の平均ではなく、最も被災率を大きく与える実験結果に対応した波高を考えた。ここでは、この波高を被災限界波高と呼ぶことにする。この被災限界波高を(1)式に代入して、K_D値を求めた結果を表-2、(1)~(3)に示す。また、通常の設計の際、用いられるK_D値(港湾構造物設計基準による値であり、以下、設計基準による値といふ)を併記した。

表-1より、周期が長くなるほど、被災限界波高は小さくなる傾向があるといふよう。また、表-2より、K_D値の絶対値については、被災率の小さい場合(0, 1%)は、設計基準による値はやや小さく、従って消波ブロックの重量をやや大きく算定することになる。そして、この傾向は周期の短いほど著しい。しかし、被災率の大きい場合(5%)は、逆に、実験的に得られたK_D値の方が小さくなり、通常の設計はやや危険側になる場合があることが示されている。

なお、被災の定義を変えると、当然、被災限界波高及びこれに対応するK_D値も変化する。図-2において、転落を被災と考えた場合の波高～被災率の関係を破線で示した。この場合、設計基準によるK_D値と実験的に得られたK_D値との差は、先の場合よりも大きいが、傾向的には、周期が長くなると両者の差が小さくなり、また、被災率を大きく考えた場合は差が小さいといふ、同様の結果が得られる。

以上の結果をまとめると、次のようになる。

①、周期が長くなるほど、被災限界波高は小さくなる。これは設計上から周期の影響を何らかの形で組み込もうことを示唆している。

②、被災率の与え方は大きな問題であり、設計上許容される限界を検討することが必要である。また、ハドソンによる補正率は危険側を与えることもある。

③、被災の定義も重要な問題である。これは現地の状況を考慮して許容範囲を決定すべきものと思われるが、本実験結果からは、通常の設計は移動及び転落を被災と考える場合に近い。ただし、周期が長くなると、転落のみを被災と考える場合との中間的状態に対応してくるようである。

4. あとがき 不規則波による実験結果をもとに、ハドソン式を中心とした消波ブロックの安定性について検討を行った。これらは、限定された条件のもとで、少數の実験結果に対して考察を行ったものであるから、必ずしも一般性を有しているとはいえないが、上述のまとめについては、既に、一部で行われた報告と一致しており、今回、不規則波実験により確認されたといふよう。

今後、さらに機会があれば、系統的な実験を行い、検討していきたいと考えている。

- 参考文献：1)合田、鈴木：不規則波に対する反射波の分離法について、第1回関東支部年次発表会、PP151~154、1974.
 2)日本港湾協会編：港湾構造物設計基準、PP.2-4-35~2-4-37、昭和47年1月。
 3)同上 2) 4)佐藤、細井、木村、三井：捨石およびテトラポッドの移動限界、第5回海講、PP.183~187、1958.

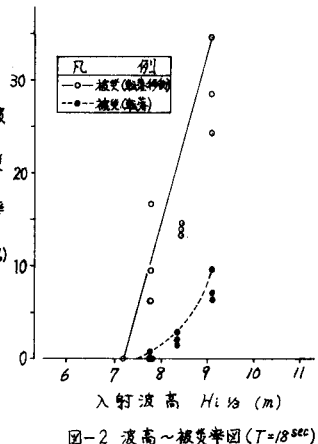


図-2 波高～被災率図($T=18\text{sec}$)

表-1 被災(移動、転落)限界波高

実験周期 時間(秒) 波高(%)	0	1	5
12	8.2 m	8.3 m	8.9 m
15	7.2	7.3	7.6
18	7.2	7.3	7.5

表-2(1) 被災率(移動、転落)0%の時のK_D値

実験周期 時間(秒) 波高(m)	K _D 値 ①	港湾構造物設計 基準によるK _D 値 ②	①/②
12.0	8.2	14.2	8.3
15.0	7.2	9.6	7.6
18.0	7.2	9.6	7.5

表-2(2) 被災率(移動、転落)1%の時のK_D値

実験周期 時間(秒) 波高(m)	K _D 値 ①	港湾構造物設計 基準によるK _D 値 ②	①/②
12.0	8.3	14.7	8.3
15.0	7.3	10.0	7.3
18.0	7.3	10.0	7.3

表-2(3) 被災率(移動、転落)5%の時のK_D値

実験周期 時間(秒) 波高(m)	K _D 値 ①	港湾構造物設計 基準によるK _D 値 ②	①/②
12.0	8.9	18.2	13.6
15.0	7.6	11.3	6.8
18.0	7.5	10.7	7.0